

# Optoelektronický přenosový systém s impulsovou šířkovou modulací

ING. PAVEL MACURA

## Úvod

V některých oblastech průmyslu a výzkumu vzniká potřeba měřicích systémů zaručujících elektrickou izolaci mezi různými zdroji signálu a společným využitím optoelektronického přenosového systému, kde vysílač a přijímač jsou odděleny dostatečně dlouhým světlovodem.

## Optoelektronické systémy pro přenos analogových signálů

Optoelektronický přenos signálů je založen na transformaci elektrického signálu na světelný. Světelný signál je veden k detektoru záření, kde je opět převeden na elektrický signál. Hlavními součástmi optoelektronických systémů jsou:

- světelný zdroj (laserová nebo lumenický dioda),
- optický spoj (nejčastěji vláknový světlovod),
- fotodetektor (fotodioda PIN nebo lavinová fotodioda).

Jednotlivé systémy se liší způsobem převodu elektrického signálu na optický:

- systémy s intenzitní modulací, kde intenzita světelného záření je přímo úměrná amplitudě elektrického signálu,
- systémy s frekvenční modulací, kde vstupní signál moduluje frekvenci oscilátoru, jehož výstup ovládá proud vysílací diodou,
- systémy s různými druhy impulsového modulace (impulsová šířková, impulsová frekvenční, impulsová polohová atd.), kde vstupní signál je přeměněn ve sled modulovaných impulsů a vysílací dioda pracuje v režimech září—nezáří.

## Vlastnosti jednotlivých druhů optoelektronických systémů

Systémy s intenzitní modulací se vyznačují největší šířkou přenášeného pásma, která je na horním konci omezena převážně vlastnostmi vysílací diody a rychlostí odezvy fotodetektora. K nevýhodám patří špatná linearita způsobená nelineární závislostí mezi proudem a intenzitou záření vysílací diody [1], změny zesílení na nízkých frekvencích vlivem vlastního ohřevu vysílací diody [2] a velká citlivost na změny útlumu v optické trase, která vede k častému seřizování a kontrole systémů, zejména při použití světlovodů různých délek.

Systémy s frekvenční a různými druhy impulsového modulace mají menší šířku přenášeného pásma, neboť nosná frekvence musí ležet dostatečně vysoko nad horním mezním kmitočtem. U impulso-

vých modulací mnohdy vyžadujeme co nejméně prodloužení doby čela a týlu impulsů. Takové systémy jsou však málo citlivé na změny světlovodné trasy, lze u nich docílit lepší linearitu a vytvořit frekvenční charakteristiku i v oblasti nejnižších kmitočtů.

## Optoelektronický systém s impulsovou šířkovou modulací

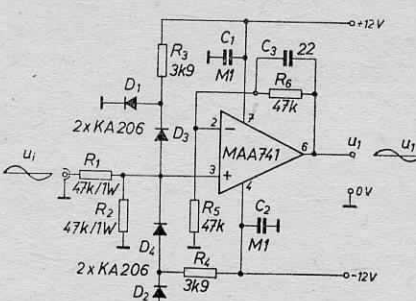
Základním principem činnosti systému je transformace vstupního signálu ve sled šířkově modulovaných obdélníkových impulsů, kterými je buzena vysílací dioda. Je použita modulace s pevným čelem a pohybivým týlem impulsu. Modulovaný signál je možné demodulovat dolní propustí [3].

Skupinové schéma systému je uvedeno na obr. 1. Vysílač sestává ze vstup-



ního zesilovače  $VZ$ , šířkového modulátoru  $\dot{S}M$ , tvarovacího a budicího stupně  $TBS$  a vysílač luminiscenční diody  $VD$ . Přijímač obsahuje fotodiodu  $PD$ , širokopásmový zesilovač  $\dot{S}Z$ , komparátor  $K$ , dolní propust  $DP$  a výstupní zesilovač  $OZ$ . Vysílač a přijímač jsou propojeny světlovodem  $S$ .

Elektrický signál je nejprve přiveden do vstupního zesilovače (obr. 2). Ten je určen pro zpracování signálu do ampli-



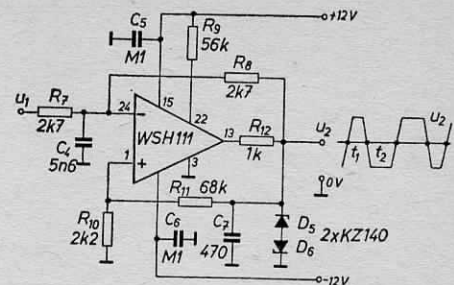
Obr. 2. Vstupní zesilovač

tudy  $1 \text{ V}$ . Obvod tvořený diodami  $D_1$  až  $D_4$  a odpory  $R_3$ ,  $R_4$  zabraňuje přebuzení zesilovače a následujících obvodů. Na vstup je možné přivést napětí o amplitudě až  $200 \text{ V}$ . Napěťové zesílení je rovno

$$A_{u1} = \frac{u_1}{u_i} = \left(1 + \frac{R_6}{R_5}\right) \cdot \left(\frac{R_2}{R_1 + R_2}\right) = 1$$

pro  $0 \leq |u_i| \leq 1 \text{ V}$ .

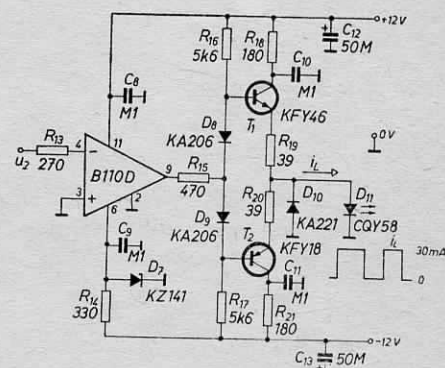
Výstupní napětí  $u_1$  ze zesilovače je převedeno na vstup šířkového modulátoru (obr. 3), který je zapojen jako asta-



Obr. 3. Šířkový modulátor

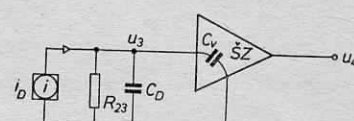
bilní klopný obvod s napětím řízenou dobou trvání kladného a záporného výstupního stavu. Obvod byl podroběně popsán v [4]. Při vstupním napětí  $u_i = 0$  je doba  $t_1$ , po kterou je napětí na výstupu modulátoru kladné polarity, rovná doba  $t_2$ , po kterou je napětí na výstupu záporné polarity. Opakovací frekvence impulsů je přibližně  $170 \text{ kHz}$ , amplituda impulsů je určena Zenerovými diodami  $D_5$  a  $D_6$ . Pro napětí  $u_i > 0$  je  $t_1 < t_2$ , pro  $u_i < 0$  je  $t_1 > t_2$ .

Šířkově modulované impulsy  $u_2$  jsou tvarovány v tvarovacím a budicím stupni (obr. 4) a přivedeny jako proudové



Obr. 4. Tvarovací a budicí stupeň

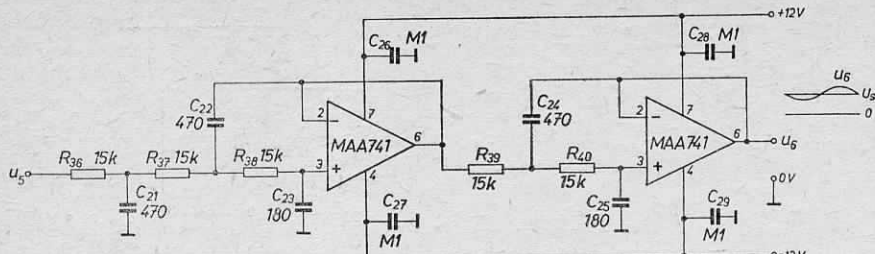
impulsy  $i_L$  o úrovni  $30 \text{ mA}$  do vysílači luminiscenční diody  $D_{11}$ . Luminiscenční dioda je typu Philips CQY58, která vyzkoušela maximum světelné emise na vlnové délce  $875 \text{ nm}$  a dobu odezvy  $20 \text{ ns}$ . Světelné záření emitované diodou je vedené vláknovým světlovodem o útlumu  $2 \text{ dB/m}$  a délce max.  $6 \text{ m}$  k přijímací fotodiodě  $D_{12}$  (obr. 5).



Obr. 5. Širokopásmový zesilovač

Obr. 6.

Přijímací fotodioda PIN typu Siemens BPW34 pracuje do zatěžovacího odporu  $R_{23}$ . Průchodem proudu fotodiody vznikou na odporu  $R_{23}$  napěťové impulsy  $u_2$  o rozkmitu přibližně  $10 \text{ mV}$  (v závislosti na útlumu světlovodu). Rychlosť odezvy fotodetektora je možné stanovit podle zjednodušeného náhradního schématu (obr. 6), kde fotodioda je nahrazena proudovým zdrojem  $i_D$  a kapacitou  $C_D$ ,  $C_V$  je vstupní kapacita širokopásmového zesilovače  $\dot{S}Z$  a  $R_{23}$  je pracovní odpor fotodiody. V našem případě je  $C_D = 13 \text{ pF}$ ,  $C_V = 12 \text{ pF}$ ,



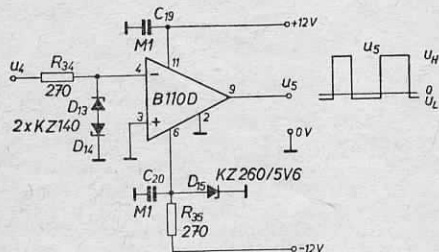
Obr. 6. Náhradní schéma pro výpočet rychlosti odzvny fotodetektoru  
Obr. 8.

$R_{23} = 2,7 \text{ k}\Omega$ . Dobu čela impulsu  $u_3$  je pak možné stanovit podle vztahu

$$t_{r3} = 2,2 R_{23}(C_D + C_V) \doteq 150 \text{ ns.}$$

Impulzy  $u_3$  jsou zesíleny v širokopásmoveém zesilovači (obr. 5), který má zesílení  $A_{u2} = 1 + R_{27}/R_{26} = 101$ , dobu náběhu 60 ns a přenášené pásmo 1,2 kHz až 5,8 MHz. Zisk zesilovače pro stejnosměrný signál je roven jedné. Po měrně vysoký horní mezní kmitočet je nutný proto, aby v zesilovači došlo k minimálnímu prodloužení doby čela k týlu impulsů.

Zesílené impulsy  $u_4$  jsou vedeny do komparátoru (obr. 7), kde jsou tvaro-

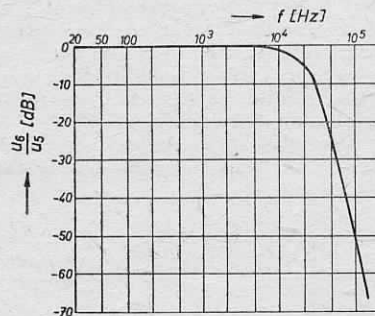


Obr. 7. Komparátor

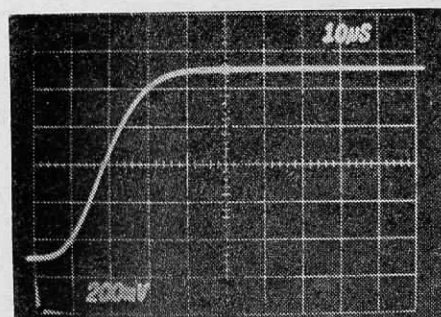
vány na obdélníkové impulsy  $u_5$  o úrovních  $U_H = 3 \text{ V}$ ,  $U_L = -0,5 \text{ V}$ . Střední hodnota uvedeného šířkově modulovaného signálu odpovídá vstupnímu signálu  $u_i$  stejnosměrně posunutému o hodnotu  $U_{ss} = 0,5$  ( $U_H - U_L$ ). Impulzy  $u_5$  jsou vedeny do aktivní dolní propusti (obr. 8), která slouží jako demodulátor šířkově modulovaného signálu. Amplitu-

dová a přechodová charakteristika prospusti jsou uvedeny na obr. 9.

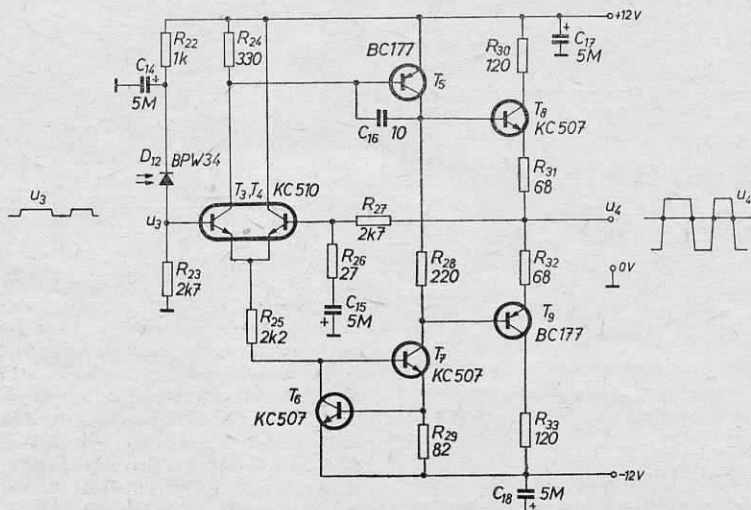
Na výstupu aktivní dolní propusti získáváme stejnosměrně posunutý demodulovaný signál  $u_6$ . Posuv stejnosměrné hladiny a nastavení zesílení celé-



Obr. 9a. Amplitudová charakteristika aktivní dolní propusti



Obr. 9b. Přechodová charakteristika aktivní dolní propusti



Obr. 8. Aktivní dolní propust

Obr. 5.

ho systému na hodnotu  $A_{uc} = -1$  se děje ve výstupním zesilovači (obr. 10).

Parametry optoelektronického systému s impulsovou šířkovou modulací

vstupní čidlo  
vstupní napětí  
(lin. pracovní oblast)  
max. vstupní napětí

$$R_i = 94 \text{ k}\Omega$$

$$0 \leq |u_i| \leq 1 \text{ V}$$

$$U_{ip} = 200 \text{ V}$$

max. útlum světlovodové trasy  
napěťové zesílení  
přenášené pásmo

$$b_m = 12 \text{ dB}$$

$$A_{uc} = -1$$

$$B = 0 \text{ až } 17 \text{ kHz}$$

$$(-3 \text{ dB})$$

doba náběhu  
přechodové charakteristiky  
odstup signál/šum  
zatěžovací odpory

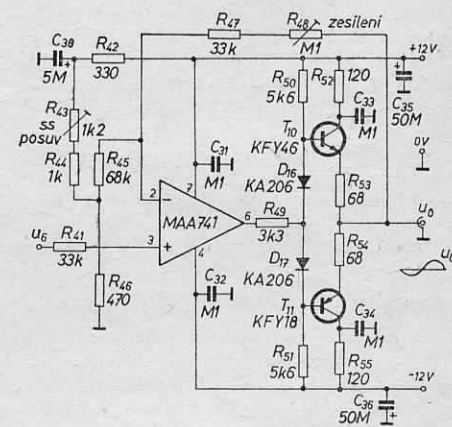
$$t_r = 20 \mu\text{s}$$

$$S/\bar{S} = 54 \text{ dB}$$

$$R_L \geq 75 \Omega$$

## Závěr

V článku je popsán optoelektronický přenosový systém s impulsovou šířkovou modulací vhodný pro přenos analogového signálu s amplitudou do 1 V



Obr. 10. Výstupní zesilovač

v pásmu 0 až 17 kHz. Systém je možné využít všude tam, kde jsou velké potenciální rozdíly mezi místem měření a vyhodnocovacím zařízením, kde je potřeba vyloučit zemní smyčky či v prostředí se silným elektromagnetickým rušením. Hlavní výhodou systému je možnost použití světlovodů různých délek (pokud útlum nepřekročí 12 dB) bez seřizování systému. Nevýhodou je poměrně nízký horní mezní kmitočet  $f_h = 17 \text{ kHz}$ , který je důsledkem použitého způsobu modulace, kdy je potřeba velká šířka pásmo pro kvalitní přenos čela týlu šířkově modulovaných impulsů. Popsaný systém je s drobnými úpravami používán při zkouškách elektrických přístrojů v n.v. a v.v.n.

## LITERATURA

- [1] Jones, D. L.: An engineering approach to fibre optic link design; Electronic Engineering, duben 1980, str. 65 až 84.
- [2] Hasegawa, O., Yagawa, N.: Low-frequency response to AlGaAs double heterojunction LEDs, IEEE Trans. Electron Devices, ED-28, 1981, č. 4, str. 385 až 389.
- [3] Hoffner, V.: Úvod do teorie signálů; Praha, SNTL 1979.
- [4] Filous, L.: Převodník výkonu s amplitudovou šířkovou modulací; Automatizace (19) 1976, č. 4, str. 93 až 97.